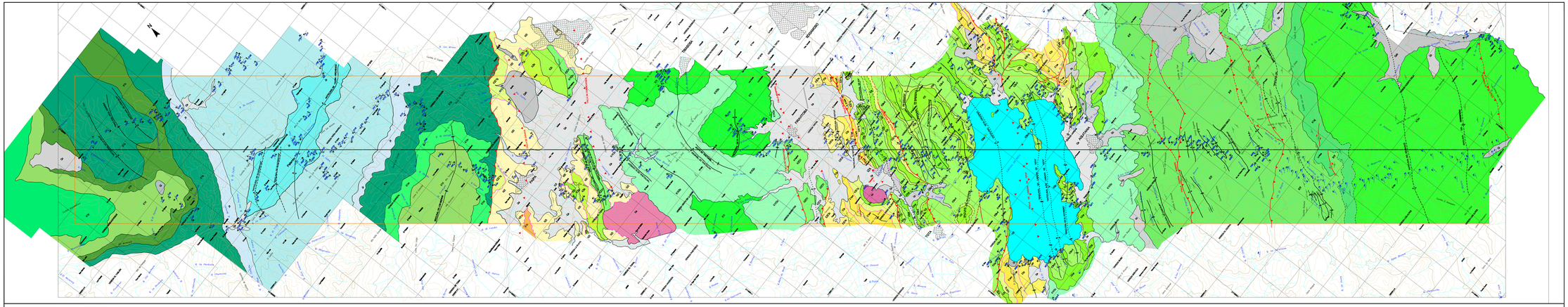

SECCIÓN ESTRUCTURAL TRANSECTA 3

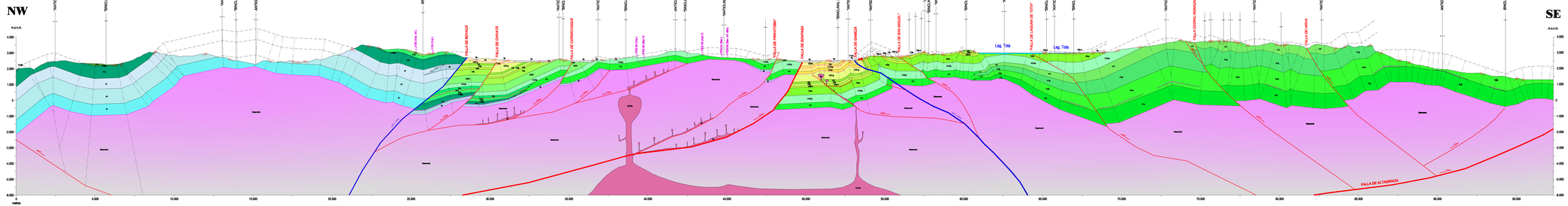
NW
SE
m.s.n.m.
"ANTICLINAL DE LA VEGA"
"SINCLINAL DE EL COMPAN"
"ANTICLINAL DE GUACAMAYAS"
"SINCLINAL DE GUACAMAYAS"
ANTICLINAL DE TAQUA-ARGANGO
SINCLINAL DE LOS MEDIOS
FALLA DE BOYACÁ
FALLA DE CHIVOR
"ANTICLINAL DE PAJA BLANCA"
"SINCLINAL DE GUACAMAYAS"
FALLA DE CONHOQUE
"ANTICLINAL DE EL CERCADO"
"SINCLINAL DE EL ESPINAL"
ANTICLINAL DE TIBASOSA
"SINCLINAL DE VOTO"
"ANTICLINAL DE EL PINO"
FALLA DE PAYANDÉ
FALLA DE SOPHÁ
"SINCLINAL DE COTUA"
"ANTICLINAL DE COTUA"
FALLA DE CHÍQUIZA
"ANTICLINAL DE SÁ"
FALLA DE SAN MIGUEL
"ANTICLINAL DE CRUCERO"
"ANTICLINAL DE TÓCHA"
"SINCLINAL DE CÓRCOLA"
"ANTICLINAL DE CANUAT"
"SINCLINAL DE BALCONES"
Lag. Tota
FALLA DE LAGUNA DE TOTA
"ANTICLINAL DE LAGUNA DE TOTA"
"SINCLINAL DE LAGUNA DE TOTA"
"SINCLINAL DE EL POTRERO"
"ANTICLINAL DE CUASCUA"
FALLA CORINAL-HONDAL
"ANTICLINAL DE HIRVA"
"ANTICLINAL DE SAN VICENTE"
FALLA DE HIRVA
"ANTICLINAL DE SAN VICENTE"
ANTICLINAL DEL RÍO SUAQUE
SINCLINAL DEL DESIERTO
FALLA DE ALTAMACA
Basamento
Volcánicos
Lutita
Arenisca
Caliza
Conglomerado
Limolita
Arcillas
Yeso
Sal
Carbón
Cuaternario
Terraza
Aluvial
Coluvial
Glacial
Lacustre
Deltaico
Eólico
Residual
Fluvial
Marino
Volcánico
Metamorfismo
Intrusivo
Estructura
Falla
Pliegue
Sinclinal
Anticlinal
Domo
Cuenca
Sedimentación
Erosión
Transgresión
Regresión
Ambiente
Edad
Unidad
Litología
Contacto
Discordancia
Concordancia
Paleontología
Fósiles
Microfósiles
Polen
Esporas
Dinoflagelados
Nannoplancton
Foraminíferos
Radiometría
Datación
Geofísica
Gravimetría
Magnetometría
Sísmica
Pozos
Perforación
Testigos
Muestras
Laboratorio
Petrografía
Mineralogía
Geoquímica
Petrofísica
Propiedades
Porosidad
Permeabilidad
Saturación
Presión
Temperatura
Madurez
Generación
Migración
Trampa
Sello
Roca Madre
Roca Reservorio
Roca Sello
Roca Madre
Roca Reservorio
Roca Sello
Roca Madre
Roca Reservorio
Roca